

Starkniederschlagshöhen und -spenden gemäß KOSTRA-DWD-2010R

Auswertungszeitraum von 1951 - 2010, Januar - Dezember

Rasterfeld: 28019

Zeile: 28

Spalte: 19

Seite: 1/2

| Dauerstufe D | Wiederkehrzeit T | | | | | | | | | | | | | | | | | | |
|--------------|------------------|------|------------|------|------------|------|------------|------|------------|------|------------|------|------------|------|------------|------|------------|-------|------------|
| | 1 a | | 2 a | | 3 a | | 5 a | | 10 a | | 20 a | | 30 a | | 50 a | | 100 a | | |
| min | Std | mm | l / (s ha) | mm | l / (s ha) | mm | l / (s ha) | mm | l / (s ha) | mm | l / (s ha) | mm | l / (s ha) | mm | l / (s ha) | mm | l / (s ha) | mm | l / (s ha) |
| 5 | | 4,5 | 150,0 | 5,9 | 196,7 | 6,7 | 223,3 | 7,7 | 256,7 | 9,1 | 303,3 | 10,5 | 350,0 | 11,3 | 376,7 | 12,3 | 410,0 | 13,7 | 456,7 |
| 10 | | 7,4 | 123,3 | 9,3 | 155,0 | 10,5 | 175,0 | 11,9 | 198,3 | 13,8 | 230,0 | 15,8 | 263,3 | 16,9 | 281,7 | 18,3 | 305,0 | 20,3 | 338,3 |
| 15 | | 9,3 | 103,3 | 11,7 | 130,0 | 13,1 | 145,6 | 14,8 | 164,4 | 17,2 | 191,1 | 19,6 | 217,8 | 21,0 | 233,3 | 22,7 | 252,2 | 25,1 | 278,9 |
| 20 | | 10,7 | 89,2 | 13,4 | 111,7 | 15,1 | 125,8 | 17,1 | 142,5 | 19,8 | 165,0 | 22,6 | 188,3 | 24,2 | 201,7 | 26,2 | 218,3 | 28,9 | 240,8 |
| 30 | | 12,6 | 70,0 | 16,0 | 88,9 | 17,9 | 99,4 | 20,4 | 113,3 | 23,8 | 132,2 | 27,1 | 150,6 | 29,1 | 161,7 | 31,6 | 175,6 | 34,9 | 193,9 |
| 45 | | 14,3 | 53,0 | 18,4 | 68,1 | 20,8 | 77,0 | 23,8 | 88,1 | 28,0 | 103,7 | 32,1 | 118,9 | 34,5 | 127,8 | 37,5 | 138,9 | 41,6 | 154,1 |
| 60 | | 15,3 | 42,5 | 20,1 | 55,8 | 22,8 | 63,3 | 26,3 | 73,1 | 31,1 | 86,4 | 35,9 | 99,7 | 38,6 | 107,2 | 42,1 | 116,9 | 46,9 | 130,3 |
| 90 | | 16,8 | 31,1 | 21,9 | 40,6 | 24,8 | 45,9 | 28,6 | 53,0 | 33,6 | 62,2 | 38,7 | 71,7 | 41,6 | 77,0 | 45,4 | 84,1 | 50,4 | 93,3 |
| 120 | 2 | 18,0 | 25,0 | 23,3 | 32,4 | 26,4 | 36,7 | 30,2 | 41,9 | 35,5 | 49,3 | 40,8 | 56,7 | 43,9 | 61,0 | 47,8 | 66,4 | 53,1 | 73,8 |
| 180 | 3 | 19,8 | 18,3 | 25,4 | 23,5 | 28,7 | 26,6 | 32,8 | 30,4 | 38,4 | 35,6 | 44,0 | 40,7 | 47,3 | 43,8 | 51,4 | 47,6 | 57,1 | 52,9 |
| 240 | 4 | 21,1 | 14,7 | 27,0 | 18,8 | 30,4 | 21,1 | 34,7 | 24,1 | 40,6 | 28,2 | 46,5 | 32,3 | 49,9 | 34,7 | 54,2 | 37,6 | 60,1 | 41,7 |
| 360 | 6 | 23,2 | 10,7 | 29,5 | 13,7 | 33,1 | 15,3 | 37,7 | 17,5 | 43,9 | 20,3 | 50,2 | 23,2 | 53,8 | 24,9 | 58,4 | 27,0 | 64,6 | 29,9 |
| 540 | 9 | 25,5 | 7,9 | 32,2 | 9,9 | 36,0 | 11,1 | 40,9 | 12,6 | 47,5 | 14,7 | 54,2 | 16,7 | 58,0 | 17,9 | 62,9 | 19,4 | 69,5 | 21,5 |
| 720 | 12 | 27,3 | 6,3 | 34,2 | 7,9 | 38,3 | 8,9 | 43,4 | 10,0 | 50,3 | 11,6 | 57,2 | 13,2 | 61,2 | 14,2 | 66,3 | 15,3 | 73,3 | 17,0 |
| 1080 | 18 | 30,0 | 4,6 | 37,4 | 5,8 | 41,7 | 6,4 | 47,1 | 7,3 | 54,4 | 8,4 | 61,8 | 9,5 | 66,1 | 10,2 | 71,5 | 11,0 | 78,9 | 12,2 |
| 1440 | 24 | 32,1 | 3,7 | 39,8 | 4,6 | 44,3 | 5,1 | 49,9 | 5,8 | 57,6 | 6,7 | 65,3 | 7,6 | 69,8 | 8,1 | 75,4 | 8,7 | 83,1 | 9,6 |
| 2880 | 48 | 40,0 | 2,3 | 48,1 | 2,8 | 52,9 | 3,1 | 58,8 | 3,4 | 67,0 | 3,9 | 75,1 | 4,3 | 79,8 | 4,6 | 85,8 | 5,0 | 93,9 | 5,4 |
| 4320 | 72 | 45,5 | 1,8 | 53,9 | 2,1 | 58,8 | 2,3 | 64,9 | 2,5 | 73,3 | 2,8 | 81,7 | 3,2 | 86,6 | 3,3 | 92,7 | 3,6 | 101,1 | 3,9 |

Angaben in mm: Bemessungsniederschlagswerte h(n)

Angaben in l / (s ha): Regenspende R(n) mit $R(n) = h(n) \times 1,666667 / D[\text{min}]$

Toleranzbereiche:

+/- 10 % für $1 \text{ a} \leq T \leq 5 \text{ a}$

+/- 15 % für $5 \text{ a} < T \leq 50 \text{ a}$

+/- 20 % für $50 \text{ a} < T \leq 100 \text{ a}$

Datenbasis: KOSTRA-DWD-2010R des Deutschen Wetterdienstes. Die Regenspende wurde auf Basis des Bemessungsniederschlags zur jeweiligen Andauer berechnet.

Für die Richtigkeit und Aktualität der Angaben wird keine Gewähr übernommen. Erstellt 07/2022.

Starkniederschlagshöhen und -spenden gemäß KOSTRA-DWD-2010R

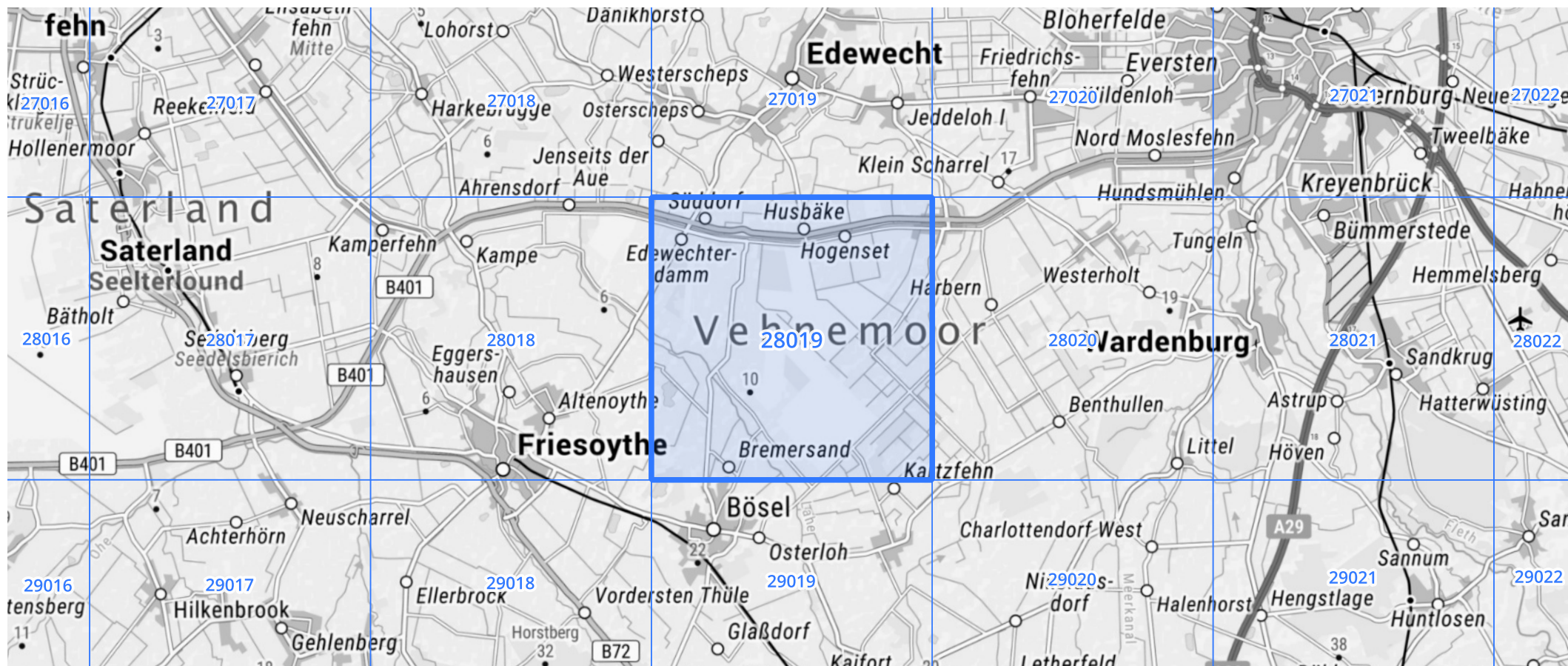
Auswertungszeitraum von 1951 - 2010, Januar - Dezember

Rasterfeld: 28019

Zeile: 28

Spalte: 19

Seite: 2/2



Quelle Rasterdaten: KOSTRA-DWD-2010R des Deutschen Wetterdienstes.

Kartendarstellung: © Bundesamt für Kartographie und Geodäsie (2022), Datenquellen: https://sgx.geodatenzentrum.de/web_public/gdz/datenquellen/Datenquellen_TopPlusOpen.html

Für die Richtigkeit und Aktualität der Angaben wird keine Gewähr übernommen. Erstellt 07/2022.